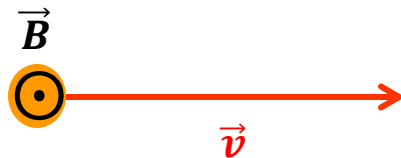


Calcule a força magnética que atua sobre um protão que se move com $\vec{v} = 4.46 \times 10^6 \hat{i} \text{ m/s}$, numa região em que existe um campo magnético $\vec{B} = 1.5 \hat{k} \text{ T}$.



$$\vec{F} = q\vec{v} \times \vec{B}$$

Regra da mão direita: sentido?

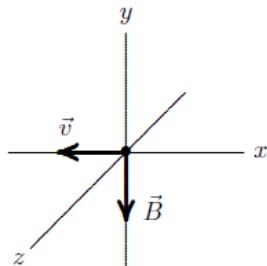
Módulo: $F = qvB \sin \theta$

Fios que transportam correntes elétricas:

$$\vec{F} = I\vec{L} \times \vec{B}$$

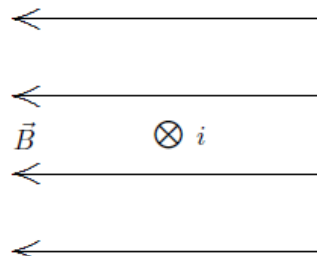
Electromagnetismo EE (2016/17)
Cap 6: Campo magnético (parte 2)

Um eletrão tem uma velocidade de módulo $v = 10^6 \text{ m/s}$, numa região onde existe um campo magnético $B = 1 \text{ T}$. Calcule a força magnética a que o eletrão está sujeito.



Se a velocidade e o campo magnético se mantiverem constantes, descreva o movimento do eletrão.

A figura mostra a secção de um conductor com uma corrente elétrica $I = 1 \text{ A}$, numa região onde existe um campo magnético $B = 1 \text{ T}$. Calcule a força magnética por unidade de comprimento a que o conductor está sujeito.



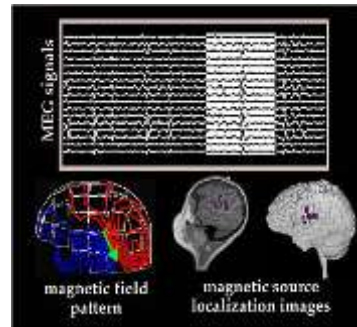
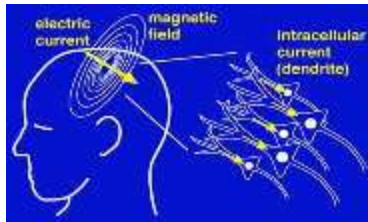
Electromagnetismo EE (2016/17)
Cap 6: Campo magnético (parte 2)

Fontes de Campo Magnético

Encefalografia Magnética (Magnetoencephalography – MEG) técnica de diagnóstico médico, não invasiva, que faz o mapeamento da actividade cerebral, medindo o campo magnético produzido pelo cérebro.



Ao medir os campos magnéticos criados pela corrente eléctrica dentro dos neurónios, a MEG identifica a actividade do cérebro associada às várias funções humanas, em tempo real

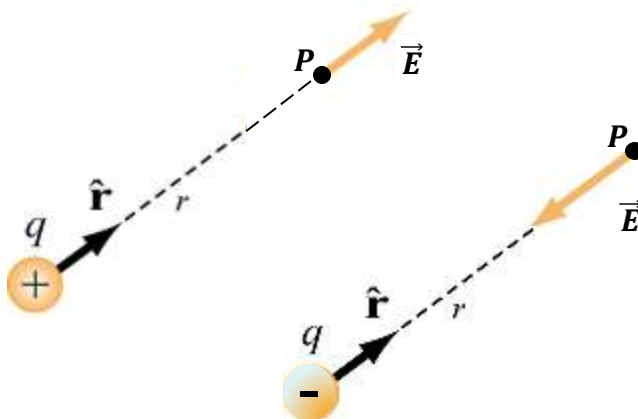


Electromagnetismo EE (2016/17)
Cap 6: Campo magnético (parte 2)

Cargas pontuais:

Uma carga eléctrica cria num ponto **P** um campo eléctrico dado por:

$$\vec{E} = \frac{1}{4\pi\epsilon_0} \frac{q}{r^2} \hat{r}$$



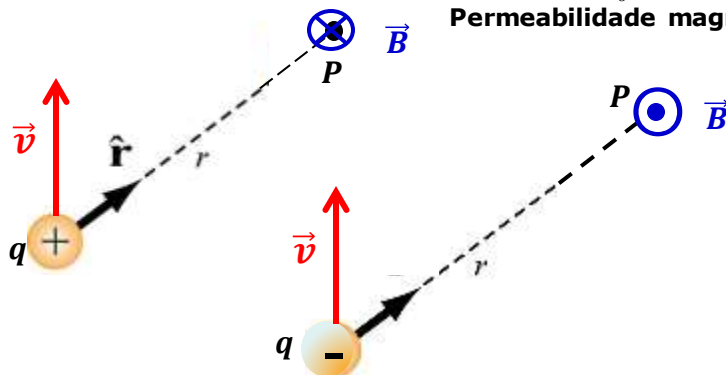
Electromagnetismo EE (2016/17)
Cap 6: Campo magnético (parte 2)

Uma carga elétrica em movimento cria num ponto P um campo magnético dado por:

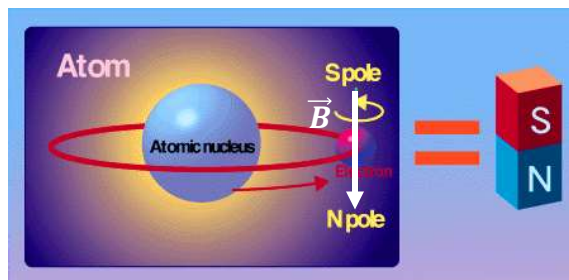
$$\vec{B} = \frac{\mu_0}{4\pi} \frac{q\vec{v} \times \hat{r}}{r^2}$$

$$\mu_0 = 4\pi \times 10^{-7} \text{ T} \cdot \text{m/A}$$

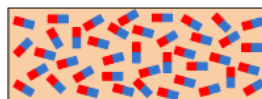
Permeabilidade magnética do vazio



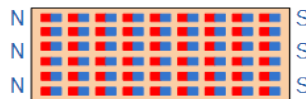
Electromagnetismo EE (2016/17)
Cap 6: Campo magnético (parte 2)



Magnetic Materials

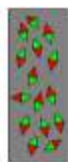


Loose and Random
Magnetic Domains



Effect of Magnetization
Domains Lined-up in Series

1)



2)



Electromagnetismo EE (2016/17)
Cap 6: Campo magnético (parte 2)

6.3. Experiência de Oersted

Hans Christian Oersted descobriu em 1820 que se colocarmos uma bússola perto de uma corrente eléctrica a agulha sofre uma deflexão. A experiência de Oersted mostrou que as correntes eléctricas produzem um campo magnético à sua volta.



“Como calcular o campo magnético que uma dada distribuição de correntes eléctricas produz no espaço?”

Electromagnetismo EE (2016/17)
Cap 6: Campo magnético (parte 2)



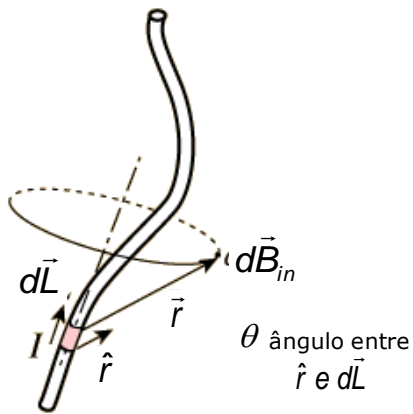
Biot (1774-1862)

Jean-Baptiste Biot e Felix Savart verificam que se um fio condutor transporta uma corrente eléctrica constante, o campo magnético $d\vec{B}$ criado num ponto P, associado a um elemento do condutor $d\vec{L}$,



Savart (1791-1841)

tem as seguintes características:

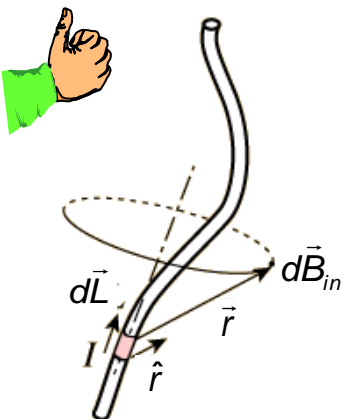


- $d\vec{B} \perp d\vec{L}$
- $d\vec{B} \perp \hat{r}$

• A magnitude dB depende:

- $dB \propto \frac{1}{r^2}$
- $dB \propto I$
- $dB \propto dL$
- $dB \propto \sin \theta$

Electromagnetismo EE (2016/17)
Cap 6: Campo magnético (parte 2)



Lei de Biot-Savart

$$d\vec{B} = \frac{\mu_0}{4\pi} \frac{I d\vec{L} \times \hat{r}}{r^2}$$

μ_0 - Permeabilidade magnética do vazio
 $\approx 4\pi \times 10^{-7} \text{ TmA}^{-1}$

O campo magnético total no ponto P , originado por um condutor de dimensões finitas será:

$$\vec{B} = \frac{\mu_0 I}{4\pi} \int \frac{d\vec{L} \times \hat{r}}{r^2}$$

Electromagnetismo EE (2016/17)
 Cap 6: Campo magnético (parte 2)

Lei de Biot-Savart *versus* lei de Coulomb

$$d\vec{B} = \frac{\mu_0}{4\pi} \frac{I d\vec{L} \times \hat{r}}{r^2} \qquad \vec{E}_P = k \frac{|q_1|}{r^2} \hat{r}_P$$

O elemento de corrente, $I d\vec{L}$, produz um campo magnético. Uma carga pontual, q , produz um campo eléctrico.

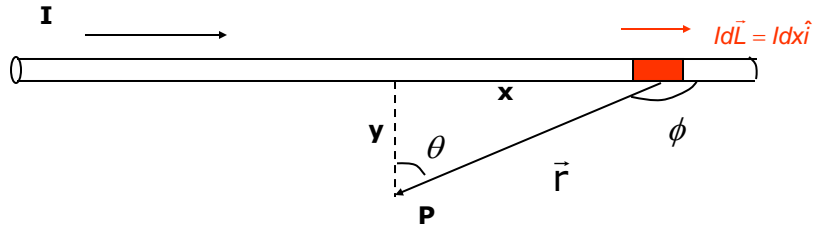
O campo magnético criado por um elemento de corrente é inversamente proporcional a r^2 . O campo eléctrico criado por uma carga pontual é, também, inversamente proporcional a r^2 .

O campo eléctrico tem a direcção de r . O campo magnético é perpendicular a r .

No caso de cargas pontuais:
$$\vec{B} = \frac{\mu_0}{4\pi} \frac{q \vec{v} \times \hat{r}}{r^2}$$

Electromagnetismo EE (2016/17)
 Cap 6: Campo magnético (parte 2)

6.4 Campo magnético originado por um fio retilíneo comprido

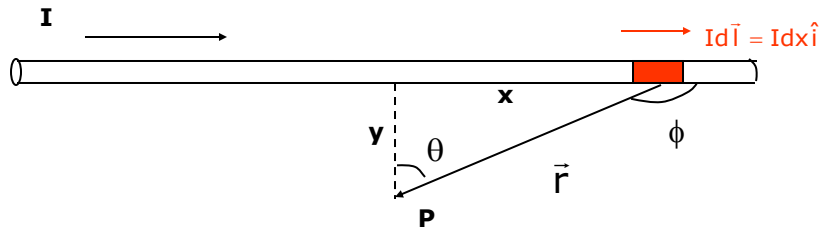


Da lei de Biot-Savart
$$d\vec{B} = \frac{\mu_0}{4\pi} \frac{Id\vec{L} \times \hat{r}}{r^2}$$

A intensidade do campo magnético no ponto **P** provocado pelo segmento dx percorrido pela corrente I .

$$dB = \frac{\mu_0 I dx}{4\pi r^2} \sin \phi = \frac{\mu_0 I dx}{4\pi r^2} \cos \theta$$

Electromagnetismo EE (2016/17)
Cap 6: Campo magnético (parte 2)

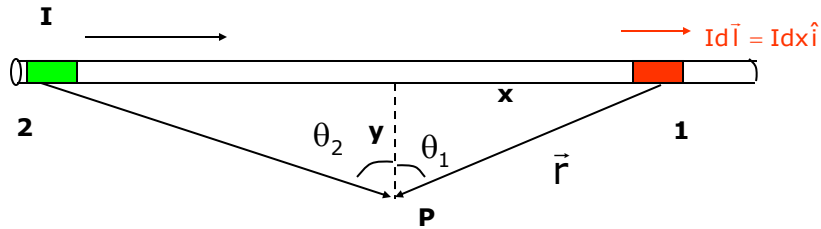


Em termos geométricos

$$x = y \tan \theta \Rightarrow dx = y \sec^2 \theta d\theta = y \frac{r^2}{y^2} d\theta = \frac{r^2}{y} d\theta$$

$$\Rightarrow dB = \frac{\mu_0 I dx}{4\pi r^2} \cos \theta = \frac{\mu_0 I}{4\pi r^2} \frac{r^2}{y} d\theta \cos \theta = \frac{\mu_0 I}{4\pi y} \cos \theta d\theta$$

Electromagnetismo EE (2016/17)
Cap 6: Campo magnético (parte 2)



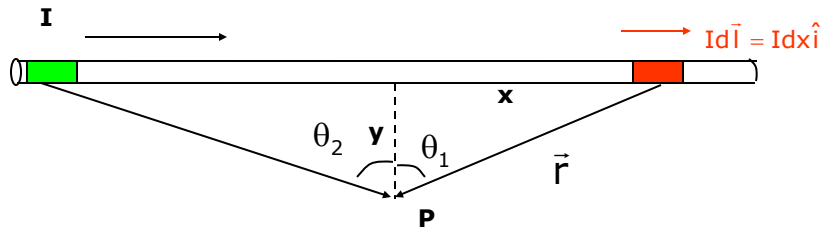
Contabilizando as contribuições de todos os elementos de condutor à direita da vertical de P ao condutor:

$$\vec{B} = \int_0^{\theta_1} \frac{\mu_0 I}{4\pi y} \cos \theta d\theta = \frac{\mu_0 I}{4\pi y} \sin \theta_1$$

Por raciocínio análogo para a parte esquerda do condutor retilíneo:

$$\vec{B} = \frac{\mu_0 I}{4\pi y} \sin \theta_2$$

Electromagnetismo EE (2016/17)
Cap 6: Campo magnético (parte 2)



O Campo magnético total no ponto P devido à dimensão total do condutor será (substituindo y por r, que corresponde à distância perpendicular de P ao fio condutor):

$$B = B_1 + B_2 = \frac{\mu_0 I}{4\pi r} (\sin \theta_1 + \sin \theta_2)$$

Se o **fio for muito longo** (infinito): $\theta_1 \wedge \theta_2 \cong 90^\circ$

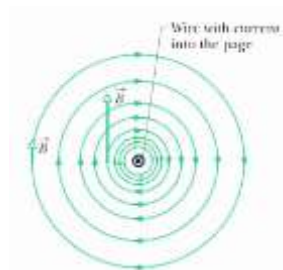
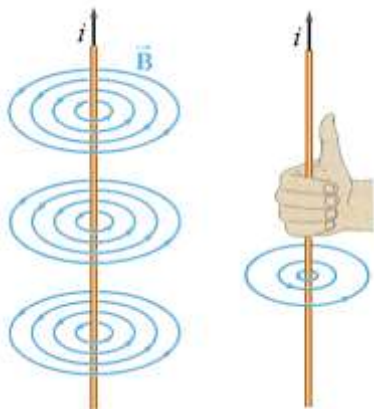
$$B = \frac{\mu_0 I}{2\pi r}$$

Qual o sentido e a direcção de \vec{B} ?

Electromagnetismo EE (2016/17)
Cap 6: Campo magnético (parte 2)

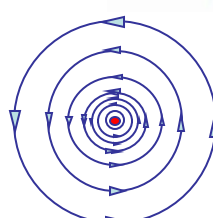
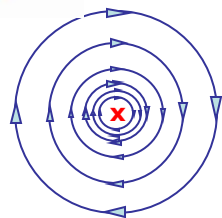
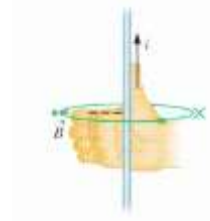
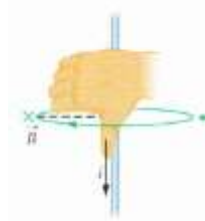
“Regra da mão direita”

Segurando o fio condutor com a mão direita, com o polegar estendido apontando na direcção e sentido da corrente, os dedos curvam-se em torno da direcção e sentido das linhas do campo magnético devido à corrente.



Electromagnetismo EE (2016/17)
Cap 6: Campo magnético (parte 2)

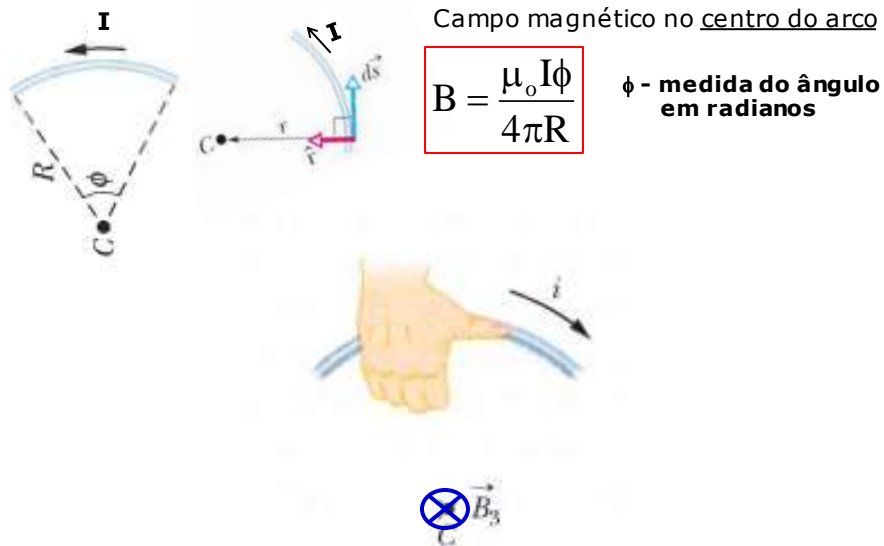
Sentido do campo magnético criado por um fio condutor rectilíneo



Linhas de campo magnético criado por um fio condutor rectilíneo

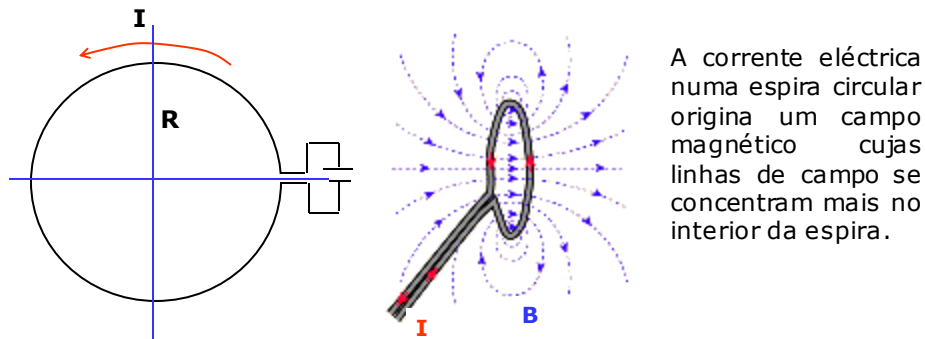
Electromagnetismo EE (2016/17)
Cap 6: Campo magnético (parte 2)

6.5 Campo magnético criado por um condutor curvilíneo



Electromagnetismo EE (2016/17)
Cap 6: Campo magnético (parte 2)

6.6 Campo magnético no centro de uma espira circular



Com esta geometria circular, a contribuição da corrente eléctrica em todos os elementos, para o campo magnético, soma-se no centro da espira. Se partirmos da lei de Biot-Savart, para calcular o campo magnético no centro da espira:

$$d\vec{B}_P = \frac{\mu_0}{4\pi} \frac{Id\vec{L} \times \hat{r}}{r^2} \Rightarrow d\vec{B} = \frac{\mu_0}{4\pi} \frac{IdL \sin\theta}{R^2}$$

Sendo θ o ângulo entre $Id\vec{L}$ e o versor \hat{r}

Electromagnetismo EE (2016/17)
Cap 6: Campo magnético (parte 2)

No caso da circunferência $\theta = 90^\circ \Rightarrow \sin \theta = 1$. O campo criado no centro da espira por um elemento dessa espira é:

$$dB = d \frac{\mu_0}{4\pi} \frac{IdL}{R^2}$$

Para calcular a contribuição de toda a espira:

$$B = \int dB = \frac{\mu_0}{4\pi} \frac{I}{R^2} \int dL$$

O integral ao longo de todo o perímetro da circunferência corresponde ao seu perímetro

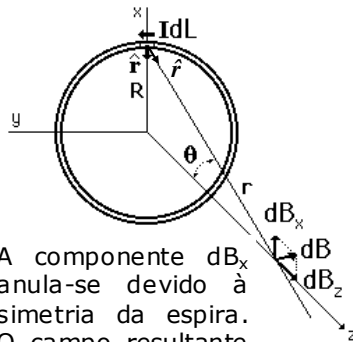
$$\int dL = 2\pi R$$

$$B = \frac{\mu_0}{4\pi} \frac{I 2\pi R}{R^2} = \frac{\mu_0 I}{2R}$$

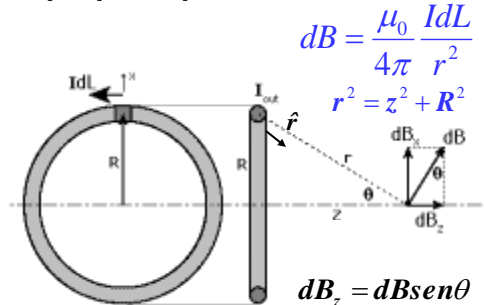
Campo magnético no centro da espira

Electromagnetismo EE (2016/17)
Cap 6: Campo magnético (parte 2)

6.7 Campo magnético sobre o eixo que passa pelo centro de uma espira circular



A componente dB_x anula-se devido à simetria da espira. O campo resultante só tem componente B_z



$$dB = \frac{\mu_0}{4\pi} \frac{IdL}{r^2}$$

$$r^2 = z^2 + R^2$$

$$dB_z = dB \sin \theta$$

$$\sin \theta = \frac{R}{\sqrt{R^2 + z^2}}$$

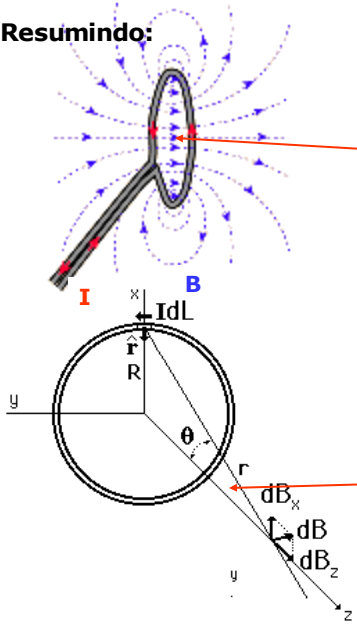
$$dB_z = \frac{\mu_0}{4\pi} \frac{IdL}{z^2 + R^2} \frac{R}{\sqrt{z^2 + R^2}} = \frac{\mu_0 IdL}{4\pi} \frac{R}{(z^2 + R^2)^{3/2}}$$

$$B_z = \frac{\mu_0 I 2\pi}{4\pi} \frac{R^2}{(z^2 + R^2)^{3/2}}$$

Campo magnético no eixo da espira

Electromagnetismo EE (2016/17)
Cap 6: Campo magnético (parte 2)

Resumindo:



Campo magnético no centro da espira

$$B = \frac{\mu_0}{4\pi} \frac{I 2\pi R}{R^2} = \frac{\mu_0 I}{2R}$$

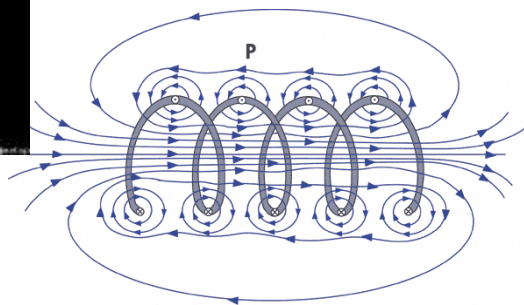
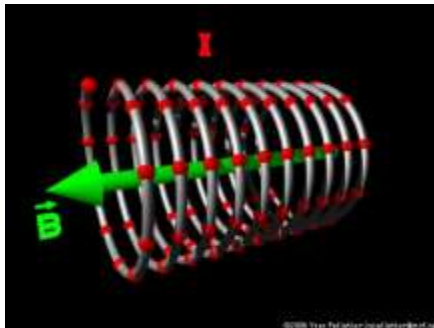
Campo magnético no eixo da espira

$$B_z = \frac{\mu_0 I}{2} \frac{R^2}{(z^2 + R^2)^{3/2}}$$

Electromagnetismo EE (2016/17)
Cap 6: Campo magnético (parte 2)

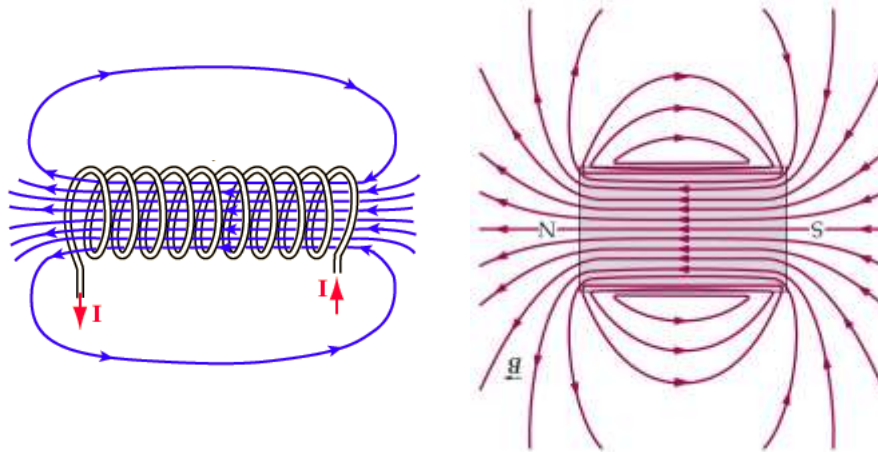
6.8. Campo magnético originado por um solenóide

Um solenóide corresponde basicamente a uma série de espiras circulares colocadas lado a lado fortemente comprimidas (em forma de hélice). São dispositivos importantes no âmbito do electromagnetismo e usados para criar campos magnéticos fortes e uniformes (no interior do solenóide).



Electromagnetismo EE (2016/17)
Cap 6: Campo magnético (parte 2)

As linhas de campo magnético de um solenóide são idênticas às linhas de campo magnético de um magnete.



Electromagnetismo EE (2016/17)
Cap 6: Campo magnético (parte 2)

Consideremos um solenóide de comprimento L , com N espiras e percorrido por uma corrente I . O nº de espiras por unidade de comprimento é dado por:

$$n = \frac{N}{L}$$

Se o nº de espiras fosse 1, o campo magnético ao longo do eixo seria:

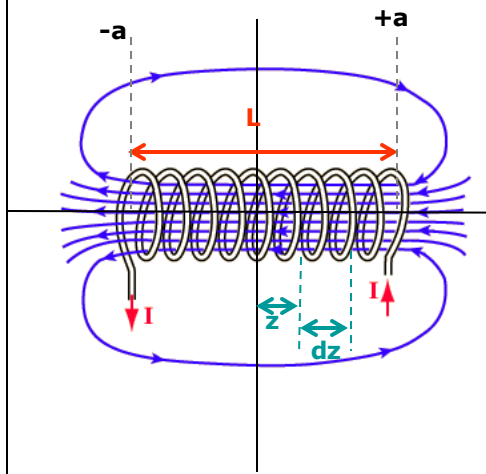
$$B_z = \frac{\mu_0 I}{2} \frac{R^2}{(z^2 + R^2)^{3/2}}$$

Consideremos um elemento do solenóide dz , a uma distância z da origem \Rightarrow há $n dz$ espiras nesse elemento. O campo magnético criado por esse elemento num ponto do eixo da espira será dado por:

$$dB_z = \frac{\mu_0 n I dz}{2} \frac{R^2}{(z^2 + R^2)^{3/2}}$$

Electromagnetismo EE (2016/17)
Cap 6: Campo magnético (parte 2)

O Campo magnético na origem, considerando a totalidade do solenóide será dado por:



$$B_z = \frac{\mu_0 n I R^2}{2} \int_{-a}^{+a} \frac{dz}{(z^2 + R^2)^{3/2}}$$

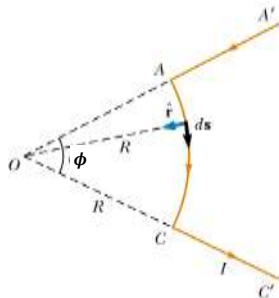
$$\int_{-a}^{+a} \frac{dz}{(z^2 + R^2)^{3/2}} = \left. \frac{z}{R^2 \sqrt{z^2 + R^2}} \right|_{-a}^{+a} = \frac{2a}{R^2 \sqrt{a^2 + R^2}}$$

$$B_z = \mu_0 n I \frac{a}{\sqrt{a^2 + R^2}}$$

Se $a \gg R \Rightarrow B_z \approx \mu_0 n I$

Electromagnetismo EE (2016/17)
Cap 6: Campo magnético (parte 2)

Checkpoint



Exemplo 1

Determinar a magnitude, a direcção e o sentido do campo magnético no ponto O, criado pela corrente que circula no fio A'C'.

\vec{B} provocado por AA' e CC' $\vec{B} = \frac{\mu_0 I}{4\pi} \int \frac{d\vec{L} \times \hat{r}}{r^2} \Rightarrow B = 0$

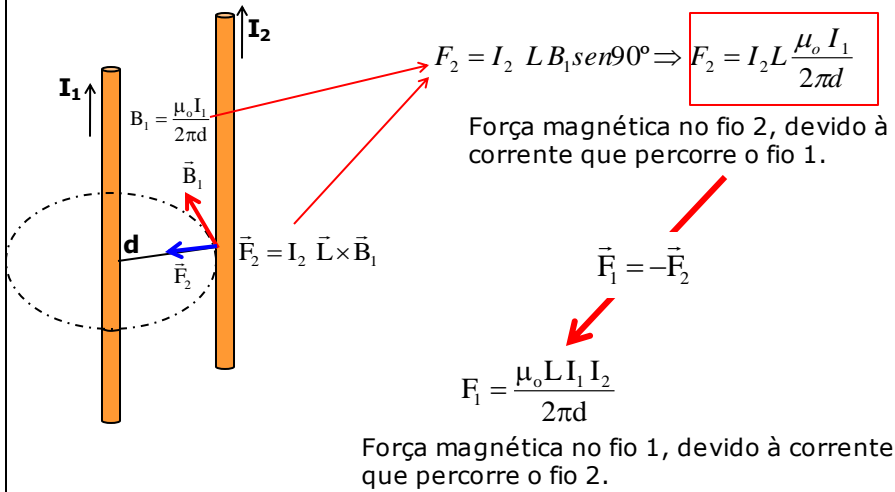
\vec{B} provocado por AC' $B = \frac{\mu_0 I \phi}{4\pi R}$

Sentido?

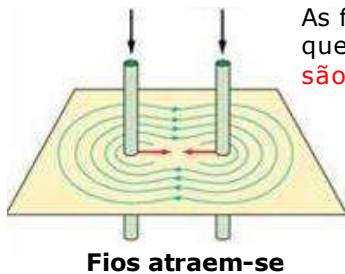


Electromagnetismo EE (2016/17)
Cap 6: Campo magnético (parte 2)

6.9 Interação magnética entre dois fios retilíneos paralelos



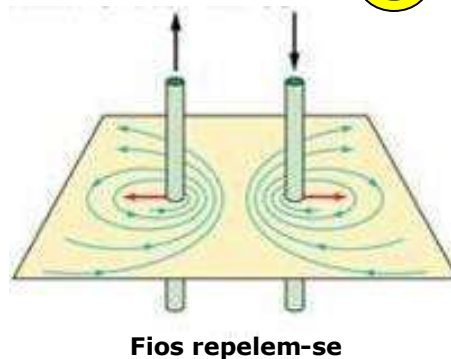
Electromagnetismo EE (2016/17)
Cap 6: Campo magnético (parte 2)



As forças magnéticas entre dois fios paralelos que transportem **corrente no mesmo sentido** são **atractivas**



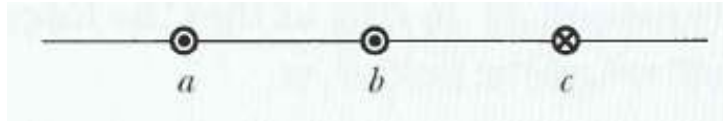
As forças magnéticas entre dois fios paralelos que transportem **corrente em sentidos opostos** são **repulsivas**



Electromagnetismo EE (2016/17)
Cap 6: Campo magnético (parte 2)

Checkpoint

A figura representa 3 fios longos paralelos e equidistantes percorridos por correntes elétricas idênticas com sentidos para fora (a e b) e para dentro da folha (c). Ordene os fios por ordem decrescente de magnitude da força magnética resultante, devido às correntes dos outros dois fios.



Electromagnetismo EE (2016/17)
Cap 6: Campo magnético (parte 2)

Lei de Biot-Savart permite calcular o campo magnético criado por um fio condutor que transporta uma corrente eléctrica constante

$$d\vec{B} = \frac{\mu_o}{4\pi} \frac{Id\vec{s} \times \hat{r}}{r^2}$$

Campo magnético criado por um condutor rectilíneo longo

$$B = \frac{\mu_o I}{2\pi r}$$

Campo magnético criado por um condutor curvilíneo

$$B = \frac{\mu_o I \phi}{4\pi R}$$

Força magnética entre dois fios paralelos

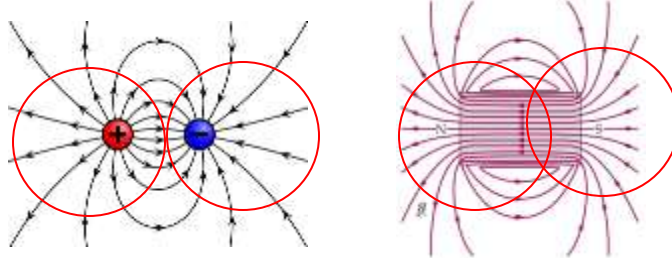
As forças magnéticas entre dois fios paralelos que transportem corrente no mesmo sentido são atractivas; se a corrente tiver sentidos opostos são repulsivas

$$F_m = \frac{\mu_o L I_2 I_1}{2\pi d}$$

Electromagnetismo EE (2016/17)
Cap 6: Campo magnético (parte 2)

6.10 Lei de Gauss do magnetismo

As linhas de campo magnético são linhas fechadas (as de campo eléctrico começam e acabam em cargas).



Consequência?

Em geral:

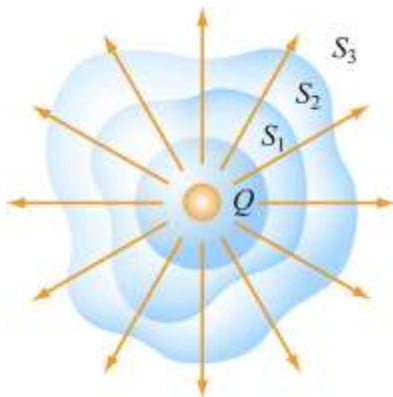
$$\Phi_E = \oint_S \vec{E} \cdot d\vec{A} \neq 0$$

$$\Phi_B = \oint_S \vec{B} \cdot d\vec{A} = 0$$

Electromagnetismo EE (2016/17)
Cap 6: Campo magnético (parte 2)

6.11 Lei de Ampère

Lembrar: Lei de Gauss do campo eléctrico:



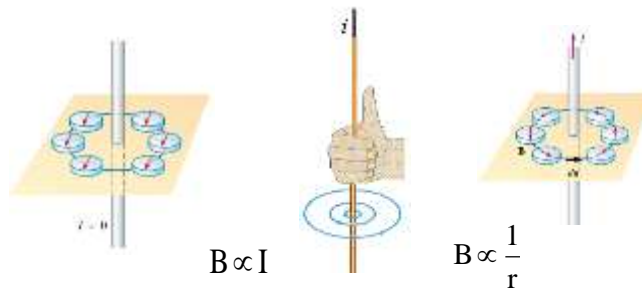
$$\oint \vec{E} \cdot d\vec{A} = \frac{q_{\text{int}}}{\epsilon_0}$$

O fluxo total do campo eléctrico através das superfícies fechadas depende da carga no interior da superfície

Electromagnetismo EE (2016/17)
Cap 6: Campo magnético (parte 2)



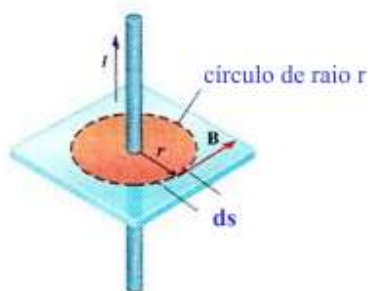
Andre-Marie Ampère
(1775–1836)



- As linhas de campo magnético são concêntricas ao fio e encontram-se num plano perpendicular ao fio
- A direcção do campo magnético é tangente em cada ponto à circunferência
- A magnitude do campo magnético é constante em qualquer ponto de uma circunferência que esteja centrada no fio

Electromagnetismo EE (2016/17)
Cap 6: Campo magnético (parte 2)

Vamos calcular o produto $\vec{B} \cdot d\vec{s}$ Sobre uma curva circular centrada num fio condutor longo que transporta uma corrente I :



Em todos os pontos da curva, o campo magnético é tangente à curva, assim:

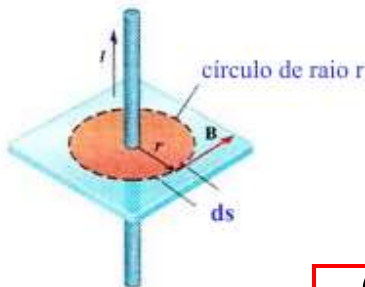
$$d\vec{s} \parallel \vec{B} \Rightarrow \vec{B} \cdot d\vec{s} = B \cdot ds \cdot \cos 0$$

Como vimos atrás (pela lei de Biot-Savart) o campo magnético, em qualquer ponto da circunferência é:

$$B = cte = \frac{\mu_0 I}{2\pi r}$$

Electromagnetismo EE (2016/17)
Cap 6: Campo magnético (parte 2)

Então: $\vec{B} \cdot d\vec{s} = \frac{\mu_0 I}{2\pi r} \cdot ds$



Integrando ao longo da circunferência:

$$\oint \vec{B} \cdot d\vec{s} = \frac{\mu_0 I}{2\pi r} \cdot 2\pi r$$

$$\boxed{B \oint ds = \mu_0 I} \quad \text{Lei de Ampère}$$

I – corrente que atravessa uma superfície no interior de uma linha fechada

Caso mais simples é aquele em que uma corrente percorre um fio rectilíneo muito longo ($ds_{total} = 2\pi r$)

$$B = \frac{\mu_0 I}{2\pi r}$$

Electromagnetismo EE (2016/17)
Cap 6: Campo magnético (parte 2)

O resultado pode ser aplicado ao caso geral de uma curva fechada arbitrária atravessada por uma corrente constante:

$$\boxed{B \oint d\ell = \mu_0 I_c}$$

Componente tangencial de B, somada sobre a linha fechada.

Corrente que passa pela área limitada pela linha fechada.

Tal como a lei de Gauss, a Lei de Ampère é sempre válida para qualquer curva fechada, C e é útil em algumas situações particulares: situações envolvendo correntes com simetria elevada.

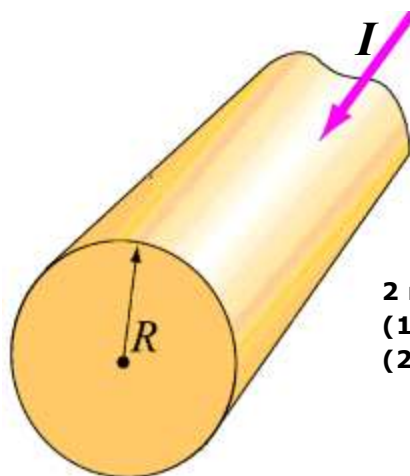
Electromagnetismo EE (2016/17)
Cap 6: Campo magnético (parte 2)

Aplicar a lei de Ampère

1. Identificar regiões em que se pretende calcular B. O sentido é dado pela regra da mão direita
2. Escolher a linha fechada (linha amperiana) em que B é nulo ou constante
3. Calcular $\oint \vec{B} \cdot d\vec{s}$
4. Calcular a corrente elétrica que passa através da superfície delimitada pela linha fechada
5. Aplicar a lei de Ampère para calcular B

$$\oint \vec{B} \cdot d\vec{s} = \mu_0 I_c$$

Exemplo 1: Fio Infinito



Um conductor cilíndrico com raio R e uma corrente I constante homogénea ($dJ = \text{constant}$).

Calcular B em qualquer ponto

2 regiões:

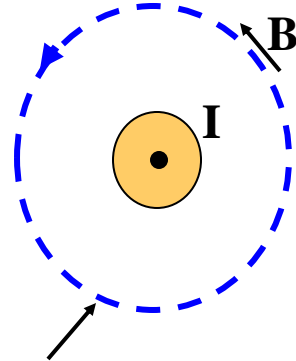
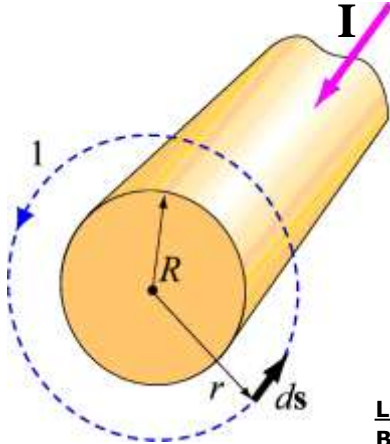
(1) Exterior ao fio ($r \geq R$)

(2) No interior do fio ($r < R$)

Exemplo 1: Fio Infinito

Região 1: exterior ao fio ($r \geq R$)

Simetria cilíndrica \rightarrow círculo amperiano B com sentido anti-horário



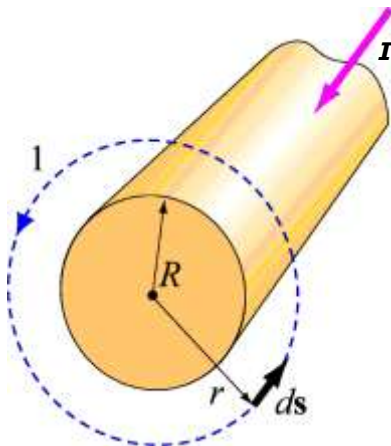
Linha amperiana:

B é Constante e Paralela ao plano da linha fechada.

I atravessa o plano delimitado pela linha amperiana

Exemplo 1: Fio Infinito

Região 1: exterior ao fio ($r \geq R$)



$$\oint \vec{B} \cdot d\vec{s} = B \oint ds = B(2\pi r)$$

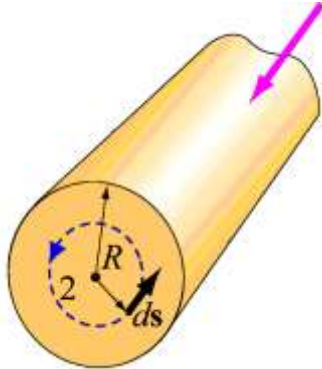
$$B(2\pi r) = \mu_0 I_c = \mu_0 I$$

$$B = \frac{\mu_0 I}{2\pi r}$$

Sentido anti-horário

Exemplo 1: Fio Infinito

Região 2: no interior do fio ($r < R$)



$$\oint \vec{B} \cdot d\vec{s} = B \oint ds = B(2\pi r)$$

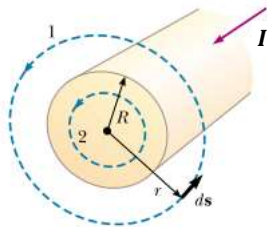
$$B(2\pi r) = \mu_0 I_{inc} \quad B = \frac{\mu_0 I_c}{2\pi r}$$

$$I_c = I \frac{\pi r^2}{\pi R^2} = I \frac{r^2}{R^2}$$

$$B = \frac{\mu_0 I}{2\pi R^2} r^2$$

$$B = \frac{\mu_0 I r}{2\pi R^2}$$

Sentido anti-horário



Região 1: exterior ao fio ($r \geq R$)

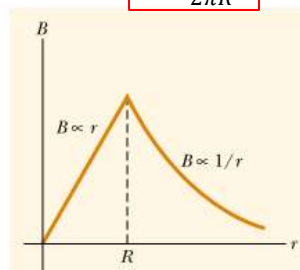
$$B = \frac{\mu_0 I}{2\pi r}$$

Sentido anti-horário

Região 2: no interior do fio ($r < R$)

$$B = \frac{\mu_0 I r}{2\pi R^2}$$

Sentido anti-horário



Aplicação da lei de Ampère:

No toróide ("donut") estão N voltas de fio percorrido pela corrente I .

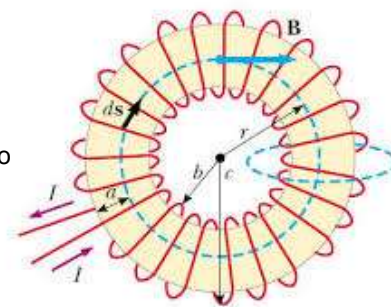
O campo magnético na circunferência no interior do toróide

$$\oint \vec{B} \cdot d\vec{s} = B \oint ds = B(2\pi r)$$

$$B(2\pi r) = \mu_0 I_c$$

Ora a corrente total entre $b < r < c$ é: $I_c = NI$

$$B = \frac{\mu_0 I_c}{2\pi r} = \frac{\mu_0 NI}{2\pi r}$$



Consequências:

a) Campo diminui com aumento de r , mas se $c-b \ll r$, B é \sim constante

b) Quando:
$$\begin{cases} r < b \Rightarrow I = 0 \\ r > c \Rightarrow I_{\text{fora}} = I_{\text{dentro}} \Rightarrow I_{\text{liquido}} = 0 \end{cases} \Rightarrow B = 0$$

Electromagnetismo EE (2016/17)
Cap 6: Campo magnético (parte 2)

c) Confinamento das cargas

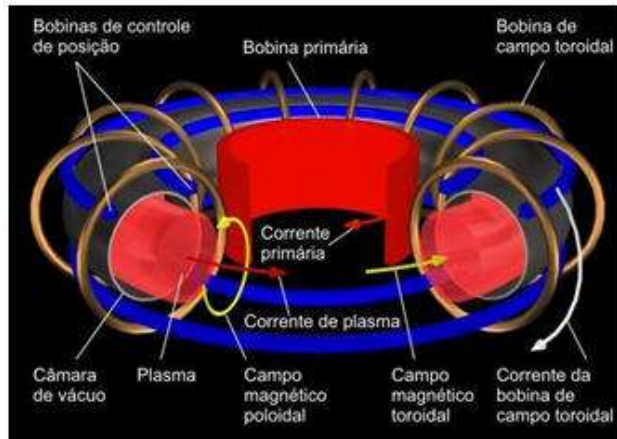
Tokamak – reactor experimental de fusão nuclear



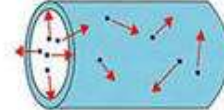
Contém cerca de 10 km de enrolamento de cobre (arrefecido a água), com corrente pulsada, que pode atingir picos de 73 000 A, produzindo campos magnéticos de 5.2 T durante 3 s.

Os campos magnéticos produzidos confinam as partículas carregadas.

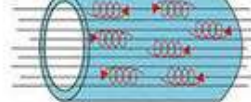
Electromagnetismo EE (2016/17)
Cap 6: Campo magnético (parte 2)



Sem campo magnético



Com campo magnético



Electromagnetismo EE (2016/17)
Cap 6: Campo magnético (parte 2)

Checkpoint

Calcular o campo magnético em qualquer ponto r suficientemente afastado dos fios, sabendo que ($r = 2 \text{ m}$) :

$$I_1 = 10 \text{ A} \quad I_2 = 25 \text{ A}$$

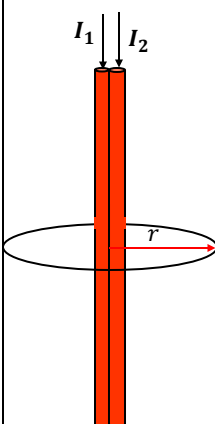
$$\oint \vec{B} \cdot d\vec{s} = B \oint ds = B(2\pi r)$$

$$B = \frac{\mu_0 I_c}{2\pi r}$$

$$I_c = 35 \text{ A} \quad \downarrow$$

$$B = \frac{4\pi \times 10^{-7} \times 35}{2\pi \times 2} = 35 \times 10^{-7} \text{ T}$$

Sentido horário

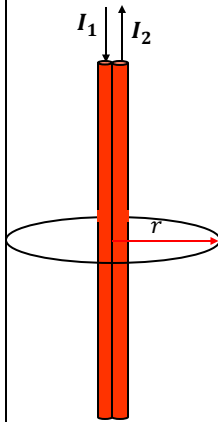


$$\mu_0 = 4\pi \times 10^{-7} \text{ T} \cdot \text{m/A}$$

Electromagnetismo EE (2016/17)
Cap 6: Campo magnético (parte 2)

Checkpoint

Calcular o campo magnético em qualquer ponto r suficientemente afastado dos fios, sabendo que ($r = 2$ m) :



$$I_1 = 10 \text{ A} \quad I_2 = 25 \text{ A}$$

$$\oint \vec{B} \cdot d\vec{s} = B \oint ds = B(2\pi r)$$

$$B = \frac{\mu_0 I_c}{2\pi r} \quad I_c = 15 \text{ A} \quad \uparrow$$

$$B = \frac{4\pi \times 10^{-7} \times 15}{2\pi \times 2} = 15 \times 10^{-7} \text{ T}$$

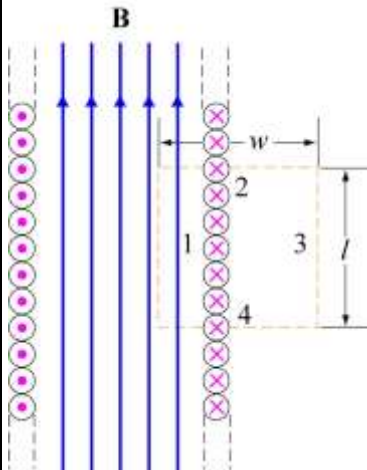
Sentido anti-horário

$$\mu_0 = 4\pi \times 10^{-7} \text{ T} \cdot \text{m/A}$$

Electromagnetismo EE (2016/17)
Cap 6: Campo magnético (parte 2)

Checkpoint

Calcular o campo magnético no interior do solenoide :



$$\begin{cases} \vec{B} \perp d\vec{s} & \text{Lados 2 e 4} \\ \vec{B} \approx \vec{0} & \text{Lado 3} \end{cases}$$

$$\int \vec{B} \cdot d\vec{s} = \int_1 \vec{B} \cdot d\vec{s} + \int_2 \vec{B} \cdot d\vec{s} + \int_3 \vec{B} \cdot d\vec{s} + \int_4 \vec{B} \cdot d\vec{s}$$

$$\int \vec{B} \cdot d\vec{s} = Bl + 0 + 0 + 0$$

$$I_c = \frac{N}{l} Il = nIl$$

$$\int \vec{B} \cdot d\vec{s} = Bl = \mu_0 I_c$$

$$Bl = \mu_0 nIl$$

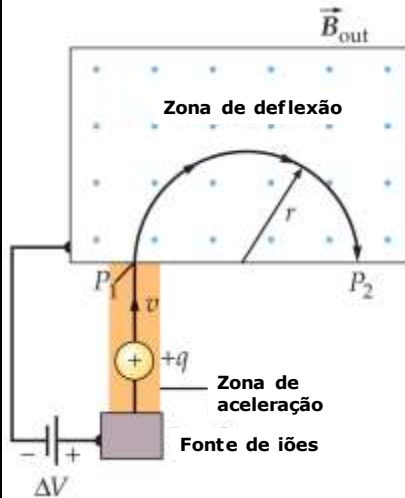
$$B = \mu_0 nI$$

Electromagnetismo EE (2016/17)
Cap 6: Campo magnético (parte 2)

6.12. Algumas aplicações do magnetismo (e electromagnetismo)

Espectrómetro de massa

Usados para medir massa de isótopos. Foi proposto em 1919 por Francis Aston.



Admitindo que partem do repouso, os iões entram na zona de deflexão (campo magnético) com uma energia dada por:

$$\frac{1}{2}mv^2 = q\Delta V$$

Na zona de deflexão, adquirem um movimento curvilíneo (semicircular) de raio:

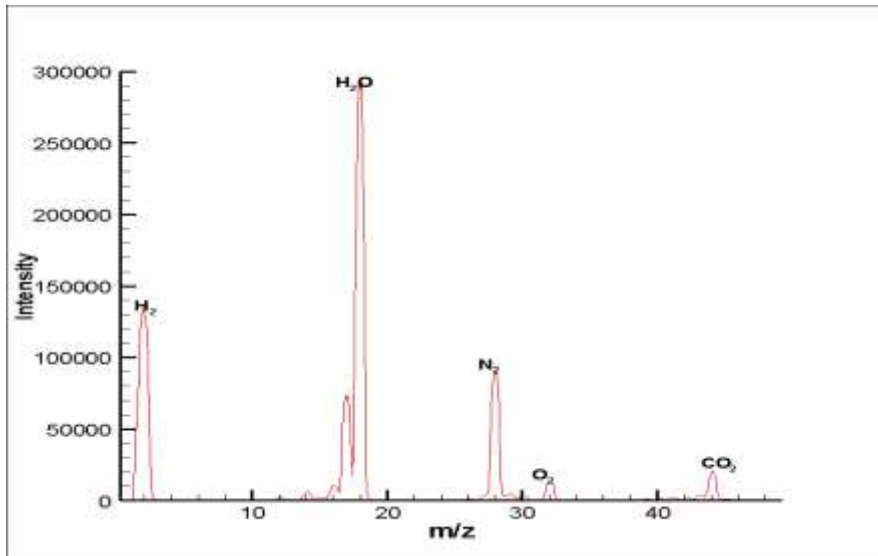
$$r = \frac{mv}{qB}$$

Donde resulta que:

$$\frac{m}{q} = \frac{B^2 r^2}{2|\Delta V|}$$

Electromagnetismo EE (2016/17)
Cap 6: Campo magnético (parte 2)

Espectro de massa resultante da análise dos gases residuais num sistema de vácuo



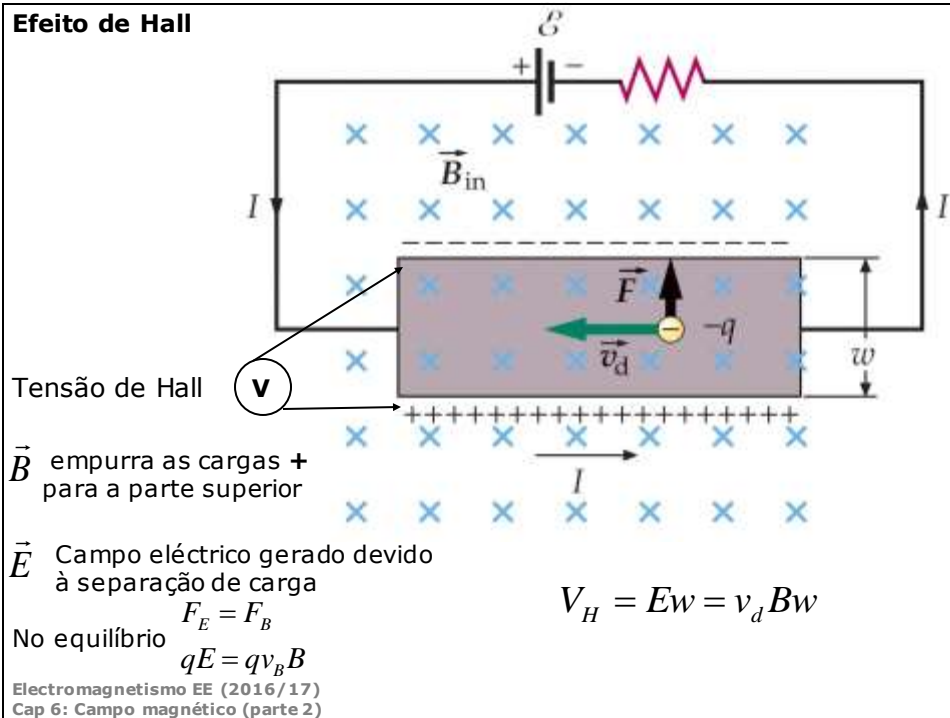
Electromagnetismo EE (2016/17)
Cap 6: Campo magnético (parte 2)

Relações M/Z para vários iões

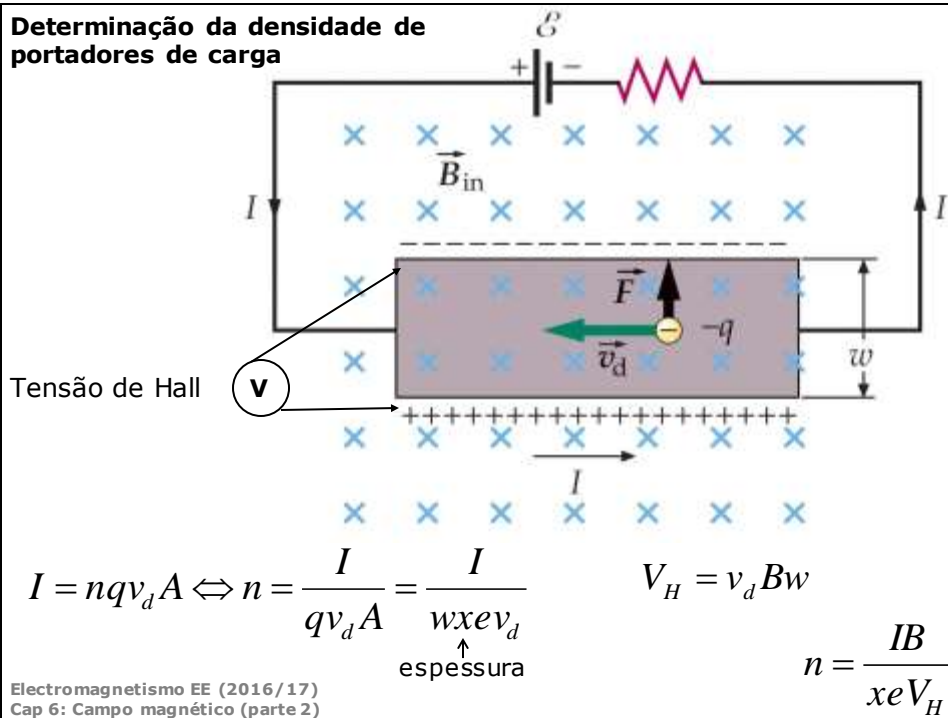
M/Z	iões	M/Z	iões	M/Z	iões	M/Z	iões
1	H ⁺	15	CH ₃ ⁺ , N ⁺ , NH ⁺	27	C ₂ H ₃ ⁺ , CHN ⁺	37	Cl ⁺
2	D ⁺ , H ₂ ⁺	16	CH ₄ ⁺ , O ⁺ , NH ₂ ⁺	28	N ₂ ⁺ , CO ⁺ , C ₂ H ₄ ⁺	38	Ar ⁺ , C ₃ H ₂ ⁺
3	He ⁺ , H ₃ ⁺	17	OH ₃ ⁺ , NH ₃ ⁺ , CH ₅ ⁺	29	CHO ⁺ , C ₂ H ₅ ⁺	39	C ₃ H ₃ ⁺
4	He ⁺ , D ₂ ⁺	18	H ₂ O ⁺ , NH ₄ ⁺	30	NO ⁺ , C ₂ H ₆ ⁺ , C ₂ H ₂ ⁺	40	Ar ⁺ , C ₃ H ₄ ⁺
12	C ⁺	19	F ⁺	32	O ₂ ⁺	41	C ₃ H ₅ ⁺
13	CH ⁺ , C ⁺	20	Ne ⁺ , Ar ⁺⁺	35	Cl ⁺	43	C ₃ H ₇ ⁺
14	N ⁺ , CH ₂ ⁺	22	Ne ⁺ , CO ₂ ⁺⁺	36	Ar ⁺	44	CO ₂ ⁺ , C ₃ H ₈ ⁺

Electromagnetismo EE (2016/17)
Cap 6: Campo magnético (parte 2)

Efeito de Hall

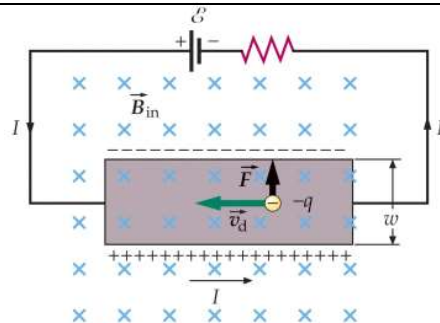


Determinação da densidade de portadores de carga



Check Point

Uma tira condutora com 2 cm de largura (w), está colocada numa região onde existe um campo magnético de intensidade 8000 G. A tensão de Hall medida é $0.64 \mu\text{V}$. Calcule a velocidade de arrastamento ds electrões.
 $1 \text{ G} = 10^{-4} \text{ T}$



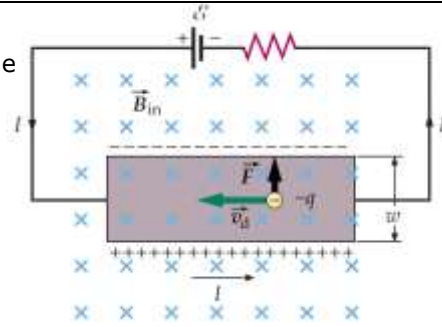
$$V_H = v_d B w$$

$$v_d = \frac{V_H}{B w} = \frac{0.64 \times 10^{-6}}{0.8 \times 2 \times 10^{-2}} = 4 \times 10^{-5} \text{ m/s}$$

Check Point

Uma tira de Ag com espessura de 1 mm e largura 1.5 cm é percorrida por uma corrente de 2.5 A, numa região onde existe um $B = 1.25$ T com direcção perpendicular à tira. A tensão de Hall medida é $0.334 \mu\text{V}$.

- a) Calcule a densidade de portadores de carga.
b) Comparar o resultado de a) com a densidade de átomos de Ag na placa.
 $\rho(\text{Ag}) = 10.5 \text{ g/cm}^3$; $M(\text{Ag}) = 107.9 \text{ g/mol}$



a)

$$n = \frac{IB}{eV_H} \Leftrightarrow n = \frac{2.5 \times 1.25}{10^{-3} \times 1.6 \times 10^{-19} \times 0.334 \times 10^{-6}} = 5.85 \times 10^{28} \text{ elect./m}^3$$

b)

$$\rho = \frac{m}{V}; n_m = \frac{m}{M}; n = \frac{n_m N_A}{V} \Rightarrow n = \frac{m N_A}{M V} = \frac{\rho N_A}{M}$$

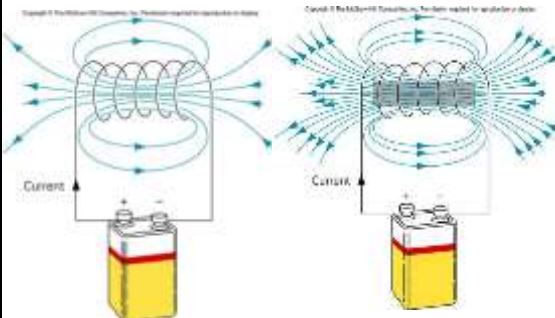
$$\Rightarrow n = \frac{10500 \times 6.023 \times 10^{23}}{107.9 \times 10^{-3}} = 5.86 \times 10^{28} \text{ át/m}^3$$

~1 electrão por átomo

Electromagnetismo EE (2016/17)
Cap 6: Campo magnético (parte 2)

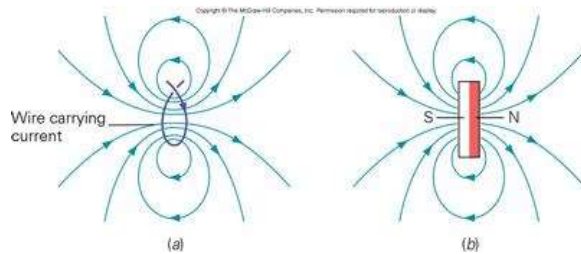
Electromagnetes

Um electromagnete consiste num "núcleo" de Ferro (permeabilidade magnética elevada) colocado no interior de um enrolamento de fio (por exemplo um solenóide). O Campo Magnético no núcleo é superior ao que seria sem núcleo de Ferro e é proporcional ao nº de espiras do enrolamento.



Electromagnetismo EE (2016/17)
Cap 6: Campo magnético (parte 2)

- Distribuições estática de carga eléctrica produzem Campos Eléctricos (Cap. I)
- Todos os campos magnéticos têm origem em movimento de cargas eléctricas.
- Um campo magnético somente se evidencia se houver movimento relativo entre a carga eléctrica e um observador.
- Electricidade e magnetismo são duas facetas do ***Campo Electromagnético***
 - Uma carga eléctrica em movimento produz campo magnético.
 - Campos magnéticos variáveis provocam efeitos no movimento de cargas eléctricas.



Electromagnetismo EE (2016/17)
Cap 6: Campo magnético (parte 2)